

УДК 532.529.5

# Определение скоростей оседания одиночных пыльцевых зерен и пыльцевых кластеров анемофильных растений, произрастающих в ЦСБС СО РАН

В.В. Головко<sup>1</sup>, К.А. Хлебус<sup>2</sup>, А.П. Беланова<sup>3\*</sup>

<sup>1</sup> Институт химической кинетики горения СО РАН  
630090, г. Новосибирск, ул. Институтская, 3

<sup>2</sup> Институт гидродинамики им. М.А. Лаврентьева СО РАН  
630090, г. Новосибирск, пр. Академика Лаврентьева, 15

<sup>3</sup> Центральный сибирский ботанический сад СО РАН, лаборатория дендрологии  
630090, г. Новосибирск, ул. Золотодолинская, 101

Поступила в редакцию 28.01.2020 г.

Исследована седimentация пыльцевых частиц ивы козьей, ивы пятитычинковой, березы даурской, подорожника среднего, мари белой, полыни Сиверса. Показано, что при распылении пыльцы этих видов образуется значительное количество кластеров из двух или более зерен, на долю которых приходится от 32,4 до 53,3% образующихся частиц. В состав кластеров входит от 59,4 до 79,2% распыленных зерен пыльцы. Определена скорость седimentации кластеров, в состав которых входит от 1 до 6 зерен пыльцы. Установлена зависимость скорости седimentации кластера от числа входящих в него пыльцевых зерен. Показана невозможность образования подобных кластеров из индивидуальных пыльцевых зерен на подложках импактора при оседании на них пыльцы.

**Ключевые слова:** скорость седimentации, пыльцевые зерна, кластеры, анемофильные растения, импульс воздуха; sedimentation rate, pollen grains, clusters, anemophilic plants, air impact.

## Введение

Перенос пыльцевой компоненты атмосферного аэрозоля – необходимое условие семенного размножения анемофильных растений, которое обеспечивает генетический внутри- и межпопуляционный обмен. Этот процесс способствует переносу химических элементов в биоценозах [1–5] и вызывает вспышки аллергических заболеваний. Пыльцевые зерна (ПЗ) служат ядрами конденсации в процес сах гетерогенной нуклеации водного пара в облаках при образовании капель; в периоды массового цветения ветроопыляемых древесных растений образуют дымку над лесными массивами [11].

Ключевым параметром для моделирования этого физического процесса является скорость седиментации пыльцевых частиц [6–8]. Ее теоретические расчеты затрудняются сложной формой ПЗ и их деформацией при высыхании, образованием кластеров из двух или большего числа ПЗ [9–12]. Скорость седimentации пыльцевых частиц (ПЧ) определяется экспериментально [11, 13].

В более ранних публикациях в основном исследовались скорости седimentации ПЧ ветроопыляемых растений Северной Америки и Западной Ев-

ропы. Определялись преимущественно скорости оседания индивидуальных ПЗ [14]. Не изучались зависимости скоростей седimentации кластеров от количества составляющих их ПЗ, при построении моделей атмосферного переноса пыльцы [15–17] не рассматривалась возможность распространения ветром кластеров из  $\geq 2$  ПЗ.

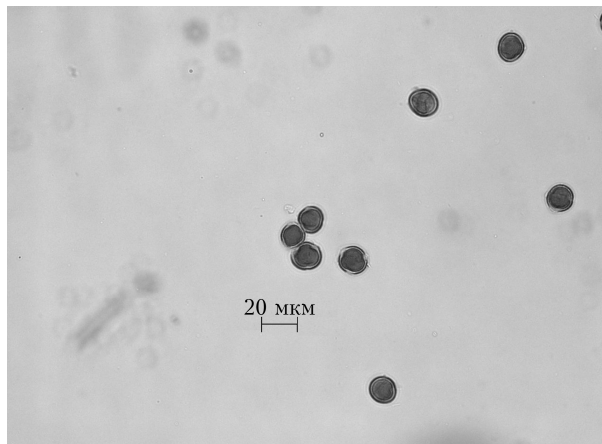
В настоящей работе исследовано оседание ПЧ ивы козьей, ивы пятитычинковой, березы даурской, подорожника среднего, мари белой, полыни Сиверса, произрастающих на территории ЦСБС СО РАН. Установлены скорости оседания ПЧ. Получены зависимости скоростей седimentации от числа ПЗ в их составе.

## Материалы и методы

Как и в предшествующих исследованиях седиментации пыльцевых частиц анемофильных растений, была использована экспериментальная установка для распыления порошкообразных материалов. Ее устройство и методика проведения экспериментов описаны в [15, 18–20].

В каждом опыте осевшие на подложку ПЧ подсчитывались с помощью микроскопа МБИ-11. Высчитывалось число единичных ПЗ, а также число кластеров, содержащих более одного ПЗ. Кластеры, содержащие 2, 3 и более ПЗ (рисунок), подсчитывались отдельно.

\* Владимир Викторович Головко (golovko@kinetics.ncs.ru); Константин Александрович Хлебус (khlebus@hydro.nsc.ru); Анастасия Петровна Беланова (boronina.a@inbox.ru).



Осадок на подложку пыльцевых зерен ивы козьей

Можно предположить, что при распылении пыльцы в экспериментальной установке пыльцевые кластеры образуются из оседающих одиночных ПЗ непосредственно на подложках.

При оценке возможного количества пыльцевых кластеров на подложке были сделаны следующие допущения: 1) ПЗ оседают на подложку независимо; 2) в формирующемся кластере ПЗ располагаются в один слой; 3) кластер образуется, если расстояние между геометрическими центрами ПЗ не более двух радиусов; 4) если математическое ожидание количества кластеров из произвольного числа ПЗ меньше единицы, то подобные (и более крупные) ПЧ не образуются.

Методика расчета математического ожидания количества пыльцевых кластеров и индивидуальных ПЗ на подложке была описана ранее [21]. Задача сводится к сравнению долей одиночных ПЗ от общего количества ПЗ, осевших на единицу площади подложки. Для оценки достоверности различия долей признака, характеризующегося альтернативным распределением, использован критерий Фишера с ф-преобразованием (угловое преобразование Фишера):

$$F = \frac{(\varphi_1 - \varphi_2)^2 \cdot N_{a \geq 1} N_{b \geq 1}}{N_{a \geq 1} N_{b \geq 1}} - F_{(a, df_1, df_2)}, \quad (1)$$

где  $\varphi_1$  и  $\varphi_2$  — преобразованные доли;  $N_{a \geq 1}$ ,  $N_{b \geq 1}$  — объемы выборок (в данном случае — суммарные количества ПЗ на подложках). Полученное значение

сравнивалось с табличным при заданном уровне значимости и с числом степеней свободы —  $df_1 = 1$ ;  $df_2 = N_{a \geq 1} + N_{b \geq 1} - 2$ .

Объемы выборок исчисляются тысячами ПЗ. Значения критерия Фишера  $F = 3,8$ ;  $6,6$  и  $10,8$  при уровнях значимости  $\alpha = 0,05$ ;  $0,01$  и  $0,001$  соответственно. Если значения критерия Фишера превышают указанные величины, то нулевую гипотезу (образование кластеров на подложке седиментометра) при заданных уровнях значимости следует отбросить.

## Результаты и обсуждение

Подсчет под микроскопом позволяет определить число ПЗ в кластере и количество кластеров, состоящих из различного числа ПЗ, осевших на подложки (табл. 1). У ивы козьей, ивы пятитычинковой, березы даурской, подорожника среднего, марь белой, полыни Сиверса уверенно распознавались кластеры, содержащие до 6 ПЗ. В некоторых кластерах из семи и большего числа ПЗ последние располагались в более чем два слоя. Их толщина превышала глубину поля зрения микроскопа, что лишь приблизительно позволяло подсчитать число ПЗ в таких частицах. Доля кластеров из 7–9 ПЗ не превышала 3% от общего количества ПЧ, число кластеров из  $\geq 10$  ПЗ было незначительно (табл. 2). Скорости седиментации кластеров из семи и большего числа ПЗ не вычислялись. Данные ПЧ учитывались при оценке доли кластеров от общего числа частиц пыльцы, оседающей на подложки, и доли ПЗ в составе кластеров.

При распылении пыльцы в седиментометре образуется огромное количество кластеров из  $\geq 2$  ПЗ (табл. 1). Пыльцевые кластеры составляют от 32,4 (марь белая) до 53,3% (ива пятитычинковая) от общего количества образующихся ПЧ. В их состав входит от 59,4 до 79,2% распыленных ПЗ. Доля поверхности препаратов ( $p$ ), соответствующая площади проекции общего числа ( $N_{j \geq 1}$ ) ПЗ, осевших на подложку, составляла от 2,8 (подорожник средний) до 5,7% (ива пятитычинковая). Наблюдавшееся количество кластеров из  $j$  зерен пыльцы отличалось от математического ожидания числа кластеров, которые возникли бы при их формировании на подложках из оседающих одиночных ПЗ (табл. 2).

**Вклад кластеров ПЗ в количество ПЧ, осевших на подложку, и доля ПЗ в составе кластеров от общего числа осевших на подложку ПЗ**

Видовое название	Дата	Температура воздуха, °C	Влажность воздуха, %	Число		Относительная доля	
				частиц	зерен	агломератов из $\geq 2$ ПЗ, %	ПЗ в агломератах из $\geq 2$ ПЗ, %
Ива козья	13.06.2017	24	83	8085	17332	47,2	75,4
Ива пятитычинковая	18.06.2017	24	78	10670	23964	53,3	79,2
Береза даурская	18.07.2018	23	91	4372	8199	45,1	70,7
Подорожник средний	16.07.2018	22	82	5007	10271	45,8	73,6
Марь белая	08.08.2017	24	83	9820	16346	32,4	59,4
Полынь Сиверса	18.10.2018	24	78	18153	36377	43,0	71,6

Таблица 2

Количество ( $n_j$ ) и математическое ожидание ( $N_j$ ) числа кластеров из  $j$  ПЗ шести видов анемофильных растений

Видовое название	Параметры	$N_{j \geq 1}$	$p, \%$	$j$												$F_\phi$
				1	2	3	4	5	6	7	8	9	$\geq 10$	$\geq 20$		
Ива козья	$n_j$ $N_j$	17332	3,6	4271 11530	1507 1876	910 407	578 122	336 46	230 13	125 5	82 —	46 —	32 —	2 —	80,9	
Ива пятитычинковая	$n_j$ $N_j$	23964	5,7	4988 12882	2355 3291	1352 941	886 322	450 78	291 —	174 —	114 —	60 —	23 —	—	76,6	
Береза даурская	$n_j$ $N_j$	8199	3,1	2402 5824	1023 808	457 157	267 43	111 15	59 5	29 2	16 —	8 —	3 —	—	55,2	
Подорожник средний	$n_j$ $N_j$	10271	2,8	2713 7584	965 946	549 170	338 43	206 14	119 4	66 2	36 —	15 —	9 —	—	70,8	
Марс белая	$n_j$ $N_j$	16346	4,3	6634 9863	1604 1987	704 494	419 166	224 66	117 5	61 —	46 —	11 —	8 —	1 —	36,0	
Полынь Сиверса	$n_j$ $N_j$	36377	4,1	10346 22712	3287 4259	1748 1013	1260 329	675 129	385 24	218 —	144 —	90 —	46 —	7 —	94,0	

Минимальное значение критерия Фишера  $F_\phi = 36,0$  отмечено у мары белой, максимальное 94,0 — у полыни Сиверса. Все полученные значения выше порогового для уровня значимости 0,001, что указывает на формирование кластеров при распылении пыльцы.

Осадая через врачающуюся щелевую диафрагму, имеющую форму узкого сектора, ПЧ образуют на подложке седиментометра последовательный ряд отпечатков. Так как участок неравномерного движения ПЧ намного меньше длины седиментометра, при расчете скорости оседания сделано допущение, что во время экспозиции каждой диафрагмы этот процесс равномерный. На каждый из секторов осадали кластеры, скорость которых варьировалась от  $V_i$  до  $V_{i+1}$  см/с, где  $V_i$  и  $V_{i+1}$  — максимальная и минимальная скорости седиментации частиц  $i$ -го сектора. Последние рассчитывались по соотношению

$$V_i = \frac{H}{t_i}, \quad i = 2 \dots 11, \quad (2)$$

где  $t_i = t_\phi(i-2)$ ;  $t_\phi$  — длительность экспозиции секторов, подбираемая экспериментально;  $H$  — высота седиментационного цилиндра.

Скорость седиментации ПЧ, оседающих в пределах  $i$ -го сектора, вычислялась по формуле

$$\bar{V}_i = \frac{V_i + V_{i+1}}{2}. \quad (3)$$

Средняя скорость седиментации  $\bar{V}_j$  кластера из  $j$  зерен

$$\bar{V}_j = \exp \left( \frac{\sum_i n_{ij} \cdot \ln(\bar{V}_{ij})}{\sum_i n_{ij}} \right), \quad (4)$$

где  $\bar{V}_{ij}$  — среднее геометрическое значение скорости седиментации кластеров из  $j$  частиц, оседающих на  $i$ -й сектор;  $n_{ij}$  — число кластеров из  $j$  частиц, осевших на  $i$ -й сектор.

Среднегеометрические отклонения  $\sigma_{gj}$  от среднего значения  $\bar{V}_j$  кластера, состоящего из  $j$  зерен, рассчитывались по формуле

$$\sigma_{gj} = \exp \sqrt{\frac{\sum_i n_{ij} (\ln(\bar{V}_{ij}) - \ln(\bar{V}_j))^2}{\sum_i n_{ij}}}. \quad (5)$$

Для индивидуальных ПЗ и для кластеров наблюдается заметный разброс скоростей седimentации. Количество подсчитанных кластеров ( $j$  от 1 до 6), среднегеометрические значения и среднегеометрические отклонения их скоростей седиментации шести видов растений, представленных в экспозиции ЦСБС СО РАН, приведены в табл. 3.

С увеличением размера кластеров уменьшается их количество. При этом, несмотря на большое, статистически значимое количество одиночных зерен, именно у них отмечены максимальные стандартные геометрические отклонения скорости седиментации. Видимо, это связано с варьированием размеров индивидуальных ПЗ и наличием некоторого числа abortивных ПЗ, у которых сохраняется оболочка, а внутреннее содержимое разрушается, что приводит к разбросу скоростей оседания. С ростом числа ПЗ в кластере эти факторы, вероятно, взаимно компенсируются, а сам кластер становится более симметричным. В результате разброс значений скоростей седиментации уменьшается.

Скорость оседания кластера возрастает с увеличением количества составляющих его частиц. Ранее нами было показано [18], что скорости седиментации кластеров в зависимости от числа частиц в кластере хорошо аппроксимируются степенной зависимостью, построенной методом наименьших квадратов. Аппроксимационные зависимости строились из предположения, что

$$\bar{V}_j = \bar{V}_1 j^\alpha \quad \text{для } 1 \leq j \leq 6, \quad (6)$$

где  $\bar{V}_1$  — средняя скорость единичного ПЗ.

Таблица 3

**Результаты определения скоростей седиментации ПЗ и их кластеров шести видов растений, представленных в экспозиции ЦСБС СО РАН**

<i>j</i>	Параметры	Ива козья	Ива пятитычинковая	Береза даурская	Подорожник средний	Мары белая	Полынь Сиверса
1	$n_j$	4271	4988	2402	6634	2713	10346
	$\bar{V}_j$ , см/с	1,2	1,2	2,5	1,6	1,6	1,3
	$\sigma_g$	1,3	1,3	1,4	1,4	1,3	1,4
2	$n_j$	1507	2355	1023	1604	965	3287
	$\bar{V}_j$ , см/с	1,5	1,5	3,4	2,1	2,1	1,6
	$\sigma_g$	1,3	1,3	1,3	1,3	1,4	1,3
3	$n_j$	910	1352	457	704	549	1748
	$\bar{V}_j$ , см/с	1,8	1,8	3,8	2,3	2,5	1,9
	$\sigma_g$	1,3	1,3	1,2	1,3	1,4	1,3
4	$n_j$	578	886	267	419	338	1260
	$\bar{V}_j$ , см/с	1,9	1,9	4,1	2,5	2,8	2,0
	$\sigma_g$	1,3	1,2	1,3	1,3	1,3	1,2
5	$n_j$	336	450	111	224	206	675
	$\bar{V}_j$ , см/с	2,1	2,0	4,3	2,6	2,9	2,1
	$\sigma_g$	1,3	1,2	1,2	1,3	1,3	1,2
6	$n_j$	230	291	59	117	206	385
	$\bar{V}_j$ , см/с	2,2	2,1	4,5	2,8	3,2	2,2
	$\sigma_g$	1,3	1,2	1,2	1,3	1,3	1,2

Параметры  $\alpha$  и  $\bar{V}_1$  определялись из экспериментальных данных методом линейного регрессионного анализа в виде

$$Y_j = \beta + \alpha X_j, \quad (7)$$

где  $Y_j = \ln(\bar{V}_j)$ ;  $\beta = \ln(\bar{V}_1)$ ;  $X_j = \ln(j)$ . Достоверность используемой аппроксимации оценивалась по коэффициенту корреляции  $r$ .

Полученные данные для исследуемых нами растений можно аппроксимировать эмпирическими зависимостями, предложенными в табл. 4.

Таблица 4

#### Эмпирические зависимости и коэффициенты корреляции

Видовое название	Эмпирическая зависимость $\bar{V}_j$ , см/с	Коэффициент корреляции $r$
Ива Козья	$1,2 \cdot j^{0,343}$	0,994
Ива пятитычинковая	$1,2 \cdot j^{0,317}$	0,987
Береза даурская	$2,5 \cdot j^{0,322}$	0,977
Подорожник средний	$1,6 \cdot j^{0,383}$	0,995
Мары белая	$1,6 \cdot j^{0,300}$	0,986
Полынь сиверса	$1,3 \cdot j^{0,298}$	0,988

На основе данных табл. 4 можно сделать вывод, что полученные средние значения скоростей седиментации кластеров ПЗ в зависимости от числа частиц в кластере аппроксимируются степенной зависимостью вида

$$\bar{V}_j = aj^k \text{ для } 1 \leq j \leq 6, \quad (8)$$

где размерные коэффициенты  $a$  (т.е.  $\bar{V}_1$ ) и показатель степени  $k$  находятся из экспериментальных данных для каждого вида растений. Коэффициент

корреляции принимает значения в диапазоне  $0,977 \leq r \leq 0,994$ , показатель степени – в диапазоне  $0,298 \leq k \leq 0,383$ . Зафиксированный диапазон  $\bar{V}_j$  от 1,2 см/с для единичного ПЗ ивы козьей до 4,5 см/с для кластера из шести ПЗ березы даурской обусловлен различием размеров ПЧ. Наличие в пробах распыленной пыльцы значительного числа кластеров, оседающих с большой скоростью, указывает на то, что подобное явление возможно и в природных условиях. Последнее предположение хорошо согласуется с тем фактом, что основное количество пыльцы оседает вблизи от источника. Зависимости, установленные экспериментальным путем, позволяют оценить скорости седиментации кластеров, состоящих из произвольного числа ПЗ, что дает возможность оценки эквивалентных диаметров таких частиц и использования полученных значений при моделировании распространения пыльцы в атмосфере.

#### Заключение

Установлено, что при экспериментальном распылении пыльцы шести исследованных видов ветроопыляемых растений образуется значительное количество кластеров из двух или более ПЗ, на долю которых приходится 32,4–53,3% образующихся частиц, при этом в их состав входит 59,4–79,2% распыленных ПЗ.

Для пыльцы ивы козьей, ивы пятитычинковой, березы даурской, подорожника среднего, мары белой, полыни Сиверса экспериментально определены скорости седиментации кластеров, в состав которых входит от 1 до 6 ПЗ.

Установлена эмпирическая зависимость скорости седиментации кластеров ПЗ от их размеров

для шести анемофильтных видов растений, представленных в экспозиции ЦСБС СО РАН.

1. Rogers C.A., Levetin E. Evidence of long-distance transport of mountain cedar pollen into Tulsa, Oklahoma // Int. J. Biometeorol. 1998. V. 42, N 2. P. 65–72.
2. Сладков А.Н. Введение в спорово-пыльцевой анализ. М.: Наука, 1967. 268 с.
3. Doskey P.V., Ugoagwu B.J. Atmospheric deposition of macronutrients by pollen at a semi-remote site in northern Wisconsin // Atmos. Environ. 1989. V. 23, N 12. P. 2761–2766.
4. Rantio-Lehtimaki A. Aerobiology of pollen and pollen antigens // Bioaerosols Handbook. Boca Raton, Florida: Lewis Publishers, 1995. P. 387–406.
5. Федорова Р.В. Количественные закономерности распространения пыльцы древесных пород воздушным путем // Тр. АН СССР. 1952. Вып. 52. С. 91–103.
6. Di-Giovanni F., Keyan P.G., Nasr M.E. The variability in settling velocities of some pollen and spores // Grana. 1995. V. 34, N 1, P. 39–44.
7. Jackson S.T., Lypord M.E. Pollen dispersal models in quaternary plant ecology: Assumptions, parameters, and prescriptions // Botan. Rev. 1999. V. 65, N 1. P. 39–74.
8. Burrows F.M. Calculation of the primary trajectories of dust seeds, spores and pollen in unsteady winds // New Phytol. 1975. V. 75, N 2. P. 389–403.
9. Owens J.N., Takaso T., Runions C.J. Pollination in conifers // Trends Plant Sci. 1998. V. 3, N 12. P. 1360–1385.
10. Erdtmann G. Handbook of palynology. Munksgaard: Copenhagen, Denmark. 1969. 486 p.
11. Sosnowskie L.M., Webster T.M., Dales D., Rains G.C., Grey T.L., Culpepper A.S. Pollen grain size, density, and settling velocity for Palmer Amaranth (*Amaranthus palmeri*) // Weed Sci. 2009. V. 57, N 4. P. 404–409.
12. Harrington J.B., Metzer K. Ragweed pollen density // Am. J. Bot. 1963. V. 50, N 6. P. 532–539.
13. Дунский В.Ф. Аэромикробиология и прогнозирование болезней растений. Аэрозоли в защите растений. М.: Наука, 1982. С. 166–191.
14. Истомин В.Л., Кузеногий К.П. Определение скорости седиментации спор плауна кластеров // Теплофизика и аэромеханика. 2001. Т. 8, № 2. С. 295–300.
15. Грегори Ф. Микробиология атмосферы. М.: Мир, 1964. 372 с.
16. Федорова Р.В., Вронский В.А. О закономерностях рассеивания пыльцы и спор в воздухе // Бюллетень комиссии по изучению четвертичного периода. 1980. № 50. С. 153–165.
17. Истомин В.Л., Кузеногий К.П. Получение аэролей из порошкообразных материалов методом импульсного воздействия газом // Теплофизика и аэромеханика. 1998. Т. 5, № 1. С. 75–79.
18. Головко В.В., Истомин В.Л., Кузеногий К.П. Определение скорости седиментации пыльцы сорных трав, как индивидуальных зерен, так и их агломератов // Оптика атмосф. и океана. 2015. Т. 28, № 7. С. 655–660.
19. Головко В.В., Истомин В.Л. Определение скорости седиментации пыльцевых частиц анемофильтных растений, произрастающих в Западной Сибири // Оптика атмосф. и океана. 2017. Т. 30, № 9. С. 806–810.
20. Головко В.В., Беланова А.П., Зуева Г.А. Исследование кластерного состава пыльцевых частиц, поступающих в атмосферу во время цветения анемофильтных растений // Оптика атмосф. и океана. 2019. Т. 32, № 6. С. 476–481.

V.V. Golovko, K.A. Hlebus, A.P. Belanova. Estimation of sedimentation rates of single pollen grains and pollen clusters of anemophilic plants growing in CSBG SB RAS.

Sedimentation of the pollen particulates of goat willow, bay willow, asian black birch, hoary plantain, white goosefoot, and sieversian wormwood is studied. It is shown that the dispersion of the pollen of these six species provides a considerable number of clusters of two or more grains, composing from 32.4 to 53.3% of the resulting particles. These clusters contain from 59.4 to 79.2% of the pollen dispersed. The sedimentation rate of the clusters, including from 1 to 6 pollen grains, is estimated. The dependence of the agglomerate sedimentation rate on the number of the pollen grains included is derived. The impossibility of formation of similar clusters on impactor substrates when spraying pollen is shown.